

# Die ⊠-Methode zur Behandlung von Mannigfaltigkeiten in Sensorfusionsalgorithmen

Udo Frese, Christoph Hertzberg und René Wagner

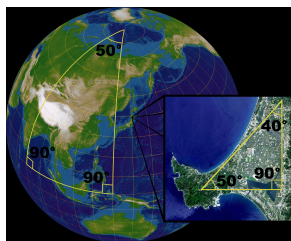
DFKI Sichere Kognitive Systeme

Workshop Lokalisationstechniken im DFKI (6./7.4.2011)

# Größen auf Mannigfaltigkeiten

*Eine Mannigfaltigkeit ist [...] ein topologischer Raum, der lokal dem euklidischen Raum  $\mathbb{R}^n$  gleicht. Im Ganzen muss die Mannigfaltigkeit jedoch nicht einem euklidischen Raum entsprechen [...].*

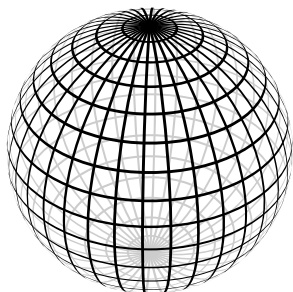
Quelle: Wikipedia



Quelle: wikipedia

# Größen auf Mannigfaltigkeiten: Sphäre

- Beispiel: Punkt auf Sphäre (z.B. Erde)
- Beispiel: Richtung im Raum
- $S^2 = \{x \in \mathbb{R}^3 \mid |x| = 1\}$
- 2 Freiheitsgrade
- traditionell: Längen und Breite  $x(\lambda, \phi)$
- Singularität an den Polen ( $\phi = \pm\pi/2 = \pm 90^\circ$ )
- Kleine Änderungen von  $x$  erfordern große Änderung von  $(\lambda, \phi)$
- Besser:  $x \in \mathbb{R}^3$  als Vektor mit Nebenbedingung  $|x| = 1$



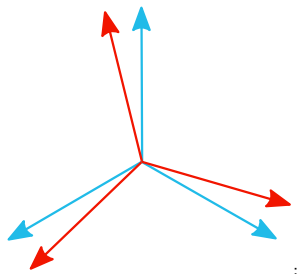
Quelle: wikipedia

# Größen auf Mannigfaltigkeiten: 3D-Orientierung

- Beispiel: 3D-Orientierung
- Ursprung, Abstand und Händigkeit erhaltende Abbildung  $\mathbb{R}^3 \mapsto \mathbb{R}^3$

$$SO(3) = \left\{ Q : \mathbb{R}^3 \mapsto \mathbb{R}^3 \mid \begin{array}{l} Q(0) = 0, \\ |Q(u) - Q(v)| = |u - v|, \\ \operatorname{sgn} |Q(u)Q(v)Q(w)| = \operatorname{sgn} |uvw| \end{array} \right\}$$

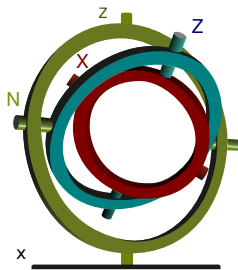
- 3 Freiheitsgrade
- Rot2Blau: Vektor in Rot-Koordinaten abgebildet auf selben Vektor in Blau-Koordinaten (alias)



Quelle: wikipedia

# Größen auf Mannigfaltigkeiten: 3D-Orientierung

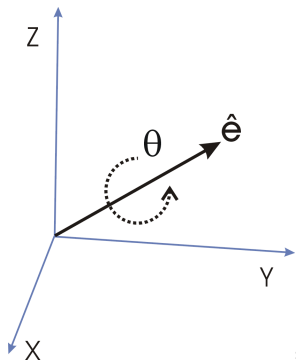
- Beispiel: 3D-Orientierung
- traditionell: Euler-Winkel  $Q(\alpha, \beta, \gamma)$
- 3 Zahlen, 3 Freiheitsgrade
- Singularität bei  $\alpha = 0$
- alternative bei  $\alpha = \pm\pi/2$



Quelle: wikipedia

# Größen auf Mannigfaltigkeiten: 3D-Orientierung

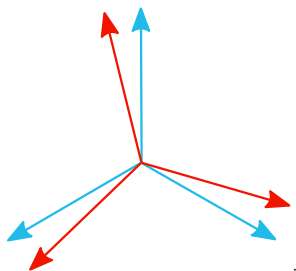
- Beispiel: 3D-Orientierung
- traditionell: angle-axis  $Q(e)$
- 3 Zahlen, 3 Freiheitsgrade
- Singularität bei  $\theta = |e| = 2\pi$



Quelle: wikipedia

# Größen auf Mannigfaltigkeiten: 3D-Orientierung

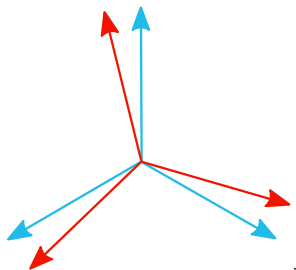
- Beispiel: 3D-Orientierung
- besser: Orthonormale Matrizen
- $\{Q \in \mathbb{R}^{3 \times 3} \mid Q^T Q = I, |Q| = 1\}$
- 9 Zahlen, 3 Freiheitsgrade
- Nebenbedingung  $Q^T Q = I$



Quelle: wikipedia

# Größen auf Mannigfaltigkeiten: 3D-Orientierung

- Beispiel: 3D-Orientierung
- besser: Einheitsquaternionen
- $\{q \in \mathbb{R}^4 \mid |q| = 1\}$
- 4 Zahlen, 3 Freiheitsgrade
- Nebenbedingung  $|q| = 1$



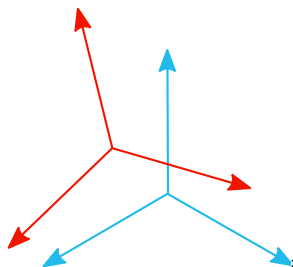
Quelle: wikipedia

# Größen auf Mannigfaltigkeiten: 3D-Pose

- Beispiel: 3D-Posen
- Abstand und Händigkeit erhaltende Abbildung  $\mathbb{R}^3 \mapsto \mathbb{R}^3$

$$SE(3) = \left\{ Q : \mathbb{R}^3 \mapsto \mathbb{R}^3 \mid \begin{aligned} &|Q(u) - Q(v)| = |u - v|, \\ &\text{sgn} |Q(u)Q(v)Q(w)| = \text{sgn} |uvw| \end{aligned} \right\}$$

- 6 Freiheitsgrade (3 Position, 3 Orientierung)
- Rot2Blau: Punkt in Rot-Koordinaten abgebildet auf selben Punkt in Blau-Koordinaten (alias)

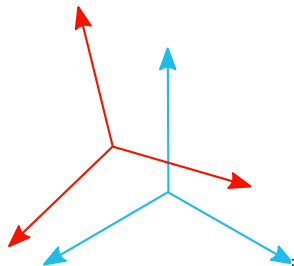


Quelle: wikipedia

# Größen auf Mannigfaltigkeiten: 3D-Pose

- Beispiel: 3D-Posen

$$\left\{ \begin{bmatrix} Q & t \\ 0 & 1 \end{bmatrix} \in \mathbb{R}^{4 \times 4} \mid \begin{array}{l} Q \in \mathbb{R}^{3 \times 3}, t \in \mathbb{R}^3, \\ Q^T Q = I, |Q| = 1, \end{array} \right\}$$



Quelle: wikipedia

# Einschub: Namensgebung in Programmen

- Formale Genauigkeit Variablennamen ist *enorm nützlich*
- Bei Punkten Koordinatensystem Im Namen nennen:  
pInA ist Punkt p in A-Koordinaten
- Alle Relativposen AInB nennen ( $4 \times 4$  Matrix):  
so dass  $pInB = AInB \cdot pInA$
- Multiplikation mit AInB von links konvertiert den selben Punkt von A nach B Koordinaten
- Weltkoordinaten: pInWorld, AInWorld, ggf. weglassen p, A
- Posen von Objekt als ObjectInWorld nicht WorldInObject

## Einschub: Namensgebung in Programmen

- Inverse von  $A \text{In} B$  ist  $B \text{In} A$
- Konsistenz von Gleichungen rechts nach links ablesbar:  
 $p \text{In} \text{Cam} = \text{Cam} \text{In} \text{World}^{-1} \cdot \text{Object} \text{In} \text{World} \cdot p \text{In} \text{Object}$
- Koordinatensysteme sinnvoll wählen, z.B. Z immer nach oben
- bei Geräten Koordinatensysteme physisch sichtbar wählen (Kanten) oder anzeichnen
- Bei Quaternionen: Klasse für Kombination von Orientierung  $q$  und Translation  $t$ ,  $v \mapsto q \cdot v \cdot q^{-1} + t$  mit Methoden für Komposition und Invertierung, wie bei Matrizen

# Schätzalgorithmen auf Mannigfaltigkeiten

- Schätzalgorithmen kombinieren unsichere Messungen zur einer möglichst genauen Schätzung eines unbekanntes Zustandes,...
- z.B. quadratische Ausgleichsrechnung (Kalibrierung, Modelfitting, SLAM)
- z.B. (Extended/Unscented) Kalmanfilter (Lokalisation, Tracking)
- ..., indem sie Unsicherheit probabilistisch modellieren,...
- mit *Erwartungswert*, *Kovarianz*, *Gaußverteilung*
- ..., und die *wahrscheinlichste* Lösung suchen.

# Schätzalgorithmen auf Mannigfaltigkeiten

- Probleme für Schätzalgorithmen auf Mannigfaltigkeiten
- Algorithmen betrachten Zustand als Vektor
- Singularitäten führen zu Fehlfunktion
- Wie berücksichtigt man die Nebenbedingung beim Suchen der *wahrscheinlichsten* Lösung?
- Wie definiert man *Erwartungswert*, *Kovarianz* und *Gaußverteilung* auf Mannigfaltigkeiten?

## ⊞-Mannigfaltigkeiten

- Lösung: ⊞-Methode
- Schätzalgorithmen arbeiten in Schritten
- Betrachte in jedem Schritt Mannigfaltigkeit lokal als Vektorraum,...
- ... aber akkumuliere Schritte topologisch richtig in der Mannigfaltigkeit
- Verkapseln globale topologische Struktur in Operatoren ⊞ und ⊞

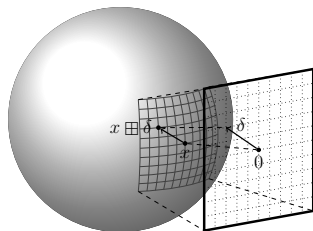
# $\boxplus$ -Mannigfaltigkeiten

- $\boxplus$ -Mannigfaltigkeit  $\mathcal{S}$  mit Operatoren

$$\boxplus_{\mathcal{S}} : \mathcal{S} \times \mathbb{R}^n \rightarrow \mathcal{S}, \quad (1)$$

$$\boxminus_{\mathcal{S}} : \mathcal{S} \times \mathcal{S} \rightarrow \mathbb{R}^n. \quad (2)$$

- $y = x \boxplus \delta$  verändert  $x$  um vektorielles  $\delta$
- $\delta = y \boxminus x$  berechnet vektorielle Änderung  $\delta$  von  $x$  nach  $y$



## ⊞-Mannigfaltigkeiten

*“We write this operation [the state update] as  $x \rightarrow x + \delta x$ , even though it may involve considerable more than vector addition.”* W. Triggs [TMHF00, p. 7]

- Beitrag der ⊞-Methode [Her08, HWFS10, WBF11]
- Vage Idee formalisiert, inkl. Erwartungswert, Kovarianz und Gaußverteilung
- Notation und Verkapselung ⊞ und ⊞
- Least-Squares und UKF adaptiert durch, im Wesentlichen, Ersetzen von  $+$  durch ⊞ und  $-$  durch ⊞

## Wahrscheinlichkeitsverteilungen auf ⊞-Mannigfaltigkeiten

- $\mu \in \mathcal{S}$ ,  $X$  Zufallsvariable in  $\mathbb{R}^n$
- $Y := \mu \boxplus X$  Zufallsvariable in  $\mathcal{S}$
- Gaußverteilung:  $\mathcal{N}(\mu, \Sigma) := \mu \boxplus \mathcal{N}(0, \Sigma)$ ,  $\mu \in \mathcal{S}$ ,  $\Sigma \in \mathbb{R}^{n \times n}$

## Erwartungswert und Kovarianz auf ⊠-Mannigfaltigkeiten

- $E X \stackrel{?}{=} \int_{\mathcal{S}} x \cdot p(X = x) dx$ . undefiniert
- Gesucht: Äquivalente Formulierung für  $\mathbb{R}^n$  die auf ⊠-Mannigfaltigkeit definiert ist
- $E X = \operatorname{argmin}_{x \in \mathcal{S}} E(\|X \ominus x\|^2)$
- $\Rightarrow E(X \ominus E X) = 0$
- $\operatorname{Cov} X = E((X \ominus E X)(X \ominus E X)^T)$
- $X$  Zufallsvariable in  $\mathcal{S}$ :  $E X \in \mathcal{S}$ ,  $\operatorname{Cov} X \in \mathbb{R}^{n \times n}$

# Vektorräume

- Beispiel:  $\mathbb{R}^n$

$$x \boxplus \delta = x + \delta, \quad y \boxminus x = y - x.$$

# 3D Orientierungen

- Beispiel: 3D Orientierungen als Matrix
- In  $x$  田  $\delta$ , Drehung um  $\delta$  (angle-axis) relativ zu  $x$
- In  $y$  田  $x$ , Drehung  $y$  relativ zu  $x$  als angle-axis

$$x \text{ 田 } \delta = x \exp \delta, \quad y \text{ 田 } x = \log (x^{-1} y),$$

$$\exp \begin{bmatrix} x \\ y \\ z \end{bmatrix} = \begin{bmatrix} \cos \theta + cx^2 & -sz + cxy & sy + cxz \\ sz + cxy & \cos \theta + cy^2 & -sx + cyz \\ -sy + cxz & sx + cyz & \cos \theta + cz^2 \end{bmatrix},$$

$$\theta = \sqrt{x^2 + y^2 + z^2}, \quad s = \operatorname{sinc} \theta, \quad c = \frac{1 - \cos \theta}{\theta^2}$$

$$\log x = \frac{\theta}{2 \sin \theta} \begin{bmatrix} x_{32} - x_{23} \\ x_{13} - x_{31} \\ x_{21} - x_{12} \end{bmatrix}, \quad \theta = \arccos \frac{\operatorname{tr} x - 1}{2}.$$

# 3D Orientierungen

- Beispiel: 3D Orientierungen als Quaternion
- In  $x \boxplus \delta$ , Drehung um  $\delta$  (angle-axis) relativ zu  $x$
- In  $y \boxminus x$ , Drehung  $y$  relativ zu  $x$  als angle-axis

$$x \boxplus \delta = x \cdot \exp \frac{\delta}{2}, \quad y \boxminus x = 2 \overline{\log}(y^{-1} \cdot x),$$

$$\exp \delta = \begin{bmatrix} \cos \|\delta\| \\ \text{sinc} \|\delta\| \delta \end{bmatrix},$$

$$\overline{\log} \begin{bmatrix} w \\ v \end{bmatrix} = \begin{cases} 0 & v = 0 \\ \frac{\text{atan}(\|v\|/w)}{\|v\|} v & v \neq 0, w \neq 0 \\ \pm \frac{\pi/2}{\|v\|} v & w = 0. \end{cases}$$

# Least-Squares auf $\boxplus$ -Mannigfaltigkeiten

## Classical Least-Squares

$$f : \mathbb{R}^n \rightarrow \mathbb{R}^m$$

$$f(X) - z \sim \mathcal{N}(0, \Sigma)$$

## Least-Squares on a $\boxplus$ -Manifold

$$f : S \rightarrow \mathcal{M}$$

$$f(X) \boxplus z \sim \mathcal{N}(0, \Sigma)$$

## Least Squares

$$\hat{x} = \operatorname{argmin}_{x \in \mathbb{R}^n} \|f(x) - z\|_{\Sigma}^2$$

$$= \operatorname{argmin}_{x \in \mathbb{R}^n} (f(x) - z)^T \Sigma^{-1} (f(x) - z)$$

$$\hat{x} = \operatorname{argmin}_{x \in S} \|f(x) \boxplus z\|_{\Sigma}^2$$

$$= \operatorname{argmin}_{x \in S} (f(x) \boxplus z)^T \Sigma^{-1} (f(x) \boxplus z)$$

# Gauß-Newton auf $\boxplus$ -Mannigfaltigkeiten

## Classical Gauss-Newton

$$f : \mathbb{R}^n \rightarrow \mathbb{R}^m$$

$$f(\mathbf{X}) - \mathbf{z} \sim \mathcal{N}(\mathbf{0}, \Sigma)$$

## Gauss-Newton on a $\boxplus$ -Manifold

$$f : \mathcal{S} \rightarrow \mathcal{M}$$

$$f(\mathbf{X}) \boxplus \mathbf{z} \sim \mathcal{N}(\mathbf{0}, \Sigma)$$

Iterate with initial guess  $\mathbf{x}_0$  until  $\mathbf{x}_i$  converges:

$$J_{\bullet k} := \frac{f(\mathbf{x}_i + \varepsilon \mathbf{e}_k) - f(\mathbf{x}_i - \varepsilon \mathbf{e}_k)}{2\varepsilon}$$

$$\mathbf{x}_{i+1} := \mathbf{x}_i - (J^\top \Sigma^{-1} J)^{-1} J^\top \Sigma^{-1} (f(\mathbf{x}_i) - \mathbf{z})$$

$$J_{\bullet k} := \frac{(f(\mathbf{x}_i \boxplus \varepsilon \mathbf{e}_k) \boxplus \mathbf{z}) - (f(\mathbf{x}_i \boxplus -\varepsilon \mathbf{e}_k) \boxplus \mathbf{z})}{2\varepsilon}$$

$$\mathbf{x}_{i+1} := \mathbf{x}_i \boxplus -(J^\top \Sigma^{-1} J)^{-1} J^\top \Sigma^{-1} (f(\mathbf{x}_i) \boxplus \mathbf{z})$$

# MTK, MTKM und SLoM

- Bibliotheken für ⊠-Methode unter C++ (MTK, SLoM) [HWFS10] und MATLAB (MTKM) [WBF11]
- [www.openslam.org](http://www.openslam.org)
- **Manifold Toolkit (for Matlab)**
- **Sparse Least Squares on Manifolds**
- Vektoren, 2D /3D Orientierung, 2D/ 3D Pose, als ⊠-Mannigfaltigkeit vordefiniert
- Mechanismus um ⊠-Mannigfaltigkeiten als Klasse zusammenzusetzen (mathematisch:  $\times$ )
- ⊠, ⊡ und Indexverwaltung für Klasse automatisch generiert
- Generische Implementierung von Gauß-Newton, Levenberg-Marquardt, UKF
- Automatische Ausnützung der Dünnbesetztheit des Problems

```

function z = project_point(intrinsic,cam2world,p_world)

p_cam = inv(cam2world.transform()) * [p_world;1]; % Transform to cam coords
z = pinhole(intrinsic.focal_length.vec, intrinsic.offset.vec, intrinsic.
    distortion.vec, p_cam(1:3));

```

```

load_data;
% define custom manifold compound type
intrinsic_t = mtk.make_compound('focal_length', @mtk.Rn,1,
                                'offset', @mtk.Rn,2,
                                'distortion', @mtk.Rn,1);
% compute initial intrinsic and extrinsic parameters
compute_initial_parameters;
% create optimization problem
o = mtk.OptimizationProblem();
% add intrinsic parameters
intrinsic_id = o.add_random_var(intrinsic);

cam2world_id_for_img = cell(num_images);
for i=1:num_images % for each calibration image
    p_img = Z{i}; p_world = M{i}; % get measurements

    % add extrinsic parameter (camera pose)
    cam2world_id_for_img{i} = o.add_random_var(cam2world_for_img{i},1);

    % add measurements (checkerboard corner points)
    for j=1:size(p_img,2)
        o.add_measurement(p_img(:, j), @project_point, {intrinsic_id,
            cam2world_id_for_img{i}}, {p_world(:, j)}, Sigma);
    end;
end

[X] = nrlm(@o.fun, o.X0); % solve problem

```

# Zusammenfassung

- Größen auf Mannigfaltigkeiten erfordern Sonderbehandlung in Schätzalgorithmen
- ⊠-Methode verkapselt diese in ⊠ und ⊡ Operatoren
- axiomatisiert, mit Erwartungswert, Kovarianz und Gaußverteilung
- Softwareunterstützung durch MTK, MTKM und SLoM
- vermitteln auch zwischen Sicht als flacher Vektor und strukturierte Klasse
- erzeugt ⊠ und ⊡ Operatoren für Klassen
- verwaltet Indizes
- Gauß-Newton, Levenberg-Marquardt und UKF
- “Nur das Problem hinschreiben”

# Literatur



**Hertzberg, C.:**

*A Framework for Sparse, Non-Linear Least Squares Problems on Manifolds*, Universität Bremen, Diplomarbeit, 2008. –

[openslam.org/slom](http://openslam.org/slom)



**Hertzberg, C. ; Wagner, R. ; Frese, U. ; Schröder, L.:**

*Integrating Generic Sensor Fusion Algorithms with Sound State Representations through Encapsulation of Manifolds.*

In: *Information Fusion* (submitted March 2010). –  
(to appear)



**Triggs, W. ; McLauchlan, P. ; Hartley, R. ; Fitzgibbon, A.:**

*Bundle Adjustment – A Modern Synthesis.*

In: Triggs, W. (Hrsg.) ; Zisserman, A. (Hrsg.) ; Szeliski, R. (Hrsg.): *Vision Algorithms: Theory and Practice.*

Springer Verlag, 2000 (LNCS), S. 298–375



**Wagner, R. ; Birbach, O. ; Frese, U.:**

*Rapid Development of Manifold-Based Graph Optimization for Multi-Sensor Calibration and SLAM.*

In: *Proceedings of the International Conference on Intelligent Robots and Systems*, 2011. –  
(under review)